

住宅地地価に関する実証的研究

京都大学工学部 正員 柏谷増男
京都大学工学部 学生員 ○池内純夫

1. はじめに

住宅立地の長期的予測を目的とする都市モデルを設定する上で、住宅地地価は重要なウエイトを占めている。地価の上昇額は、絶対値としては景気の変動などの影響を強く受け、その性質はつかみにくいが、都市圏内の相対的な空間的性質については安定的な性質があるのではないかと考えられる。そこで本研究では従来の動的的地価理論に沿って地価上昇の空間的性質を分析し、あわせてこれらの理論を実証的に検討する。

2. 従来の動的的地価理論と分析項目

資産選択の立場に立つ小宮氏の理論では、いくつかの仮定のもとで次式を与えている。

$$(P_{t+1} - P_t) + R_t = PP_t \quad \dots \dots \dots (1)$$

ここで P は土地とリスクの程度がほぼ等しい資産（たとえば株式）の予想収益率であり、 P_t , R_t はそれぞれ t 期末あるいは $t+1$ 期の期初における地価、地代の予想額である。 (1) 式を変形すると次式となる。

$$(P_{t+1} - P_t)/P_t = P - R_t/P_t \quad \dots \dots \dots (2)$$

左辺の地価上昇率を \dot{P}_t と示す。本研究ではこれに注目して分析を行なう。まず \dot{P}_t の空間的性質を調べ、都市の空間的構造との関係を分析する。さらに、静的分析で地代により示される都市構造との関係を調べるため、 (1) の理論式において地代に相当する $(P+1)P_t - P_{t+1}$ について考察する。具体的には、 P_t , P_{t+1} はデータとして得られており、 P の値により $(P+1)P_t - P_{t+1}$ は決定される。そこで P の値によりない $(P+1)P_t - P_{t+1}$ の定性的性質を考え (1) 式を検討する。

3. 東京都市圏における実証分析

本研究の分析対象区域として、東京都市圏をとりあげた。分析対象データとしては、建設省土地鑑定委員会編「地価公示」の昭和48, 49年より、表1に該当するものを抽出した。分析に利用した項目を表2に示す。このうち、3は都心を東京駅として求めた。又、2は鑑定者の主観で種々の表現がなされているので、これを表3のように分類した。

i) 地価と時間距離の回帰

分析に先だ、て、地価 P と都心からの時間距離 $x^{(1)}$ に

表1 抽出住宅地

都市計画法などの 土地利用区分		立地状況	
(1・2種) 住居 住居地域		住宅 空地	店舗兼住宅 田畠
その他			

表2 分析利用項目

1 地価
2 周辺の土地利用
3 資により対象地区までの時間距離

表3 周辺の土地利用分類

周辺の土地利用形態		件数
1 店舗・事務所がある住宅地		133
2 マンションがある住宅地		25
3 アパートが多い住宅地		60
4 アパートがある住宅地		245
5 小工場が混在する住宅地		80
6 小規模住宅が多い住宅地		92
7 一般住宅地		731
8 高級住宅地		19
9 空地		158
10 分譲住宅地・新興住宅地		486
11 一般住宅、農家が混在		365
12 宅地見込地・農家集落地		158

$P = A_0 e^{-B(x-x_0)}$ という回帰式をあてはめる。その結果は表4に示す通りである。なお、 x_0 はデータがある程度まとま、た都心に近い地区までの時間距離である。全般的にみて、パラメータ A_0 , B と x と周辺の土地利用の間には密接な関係がみつけられる。7の A_0 , B が 3, 4 と比べて大きいことが問題となるので、7は都心近くと、郊外の2種類に区分する必要があるようと思われる。この点の詳細については講演時に述べる。

ii) 地価上昇額 ΔP , 地価上昇率 \dot{P}

$\Delta P_t = P_{t+1} - P_t$ と x の関係として図1に示すように地価と同様、右下りの曲線が得られた。この傾きは P と x の傾きより小さい。その結果 $\dot{P}_t = \frac{\Delta P_t}{P_t}$ の値は、郊外に向かうにつれ上昇する。 \dot{P} と x の関係として図2に示すように左曲線が得られた。 \dot{P} は $x=85$ まで上昇を続け、 $x=85$ で急落する。これより $x=85$ は住宅の限界地となると思われる。これは限界地において \dot{P} が最大になるという新決まりの理論と対応している。一方、小宮氏の理論に沿えば、 $x=85$ では \dot{P} の値は限界地の状態を維持することになるが、今回の分析結果とは異なる。これは (II) 式が 1 期のものであるのに対し、地価に関しては長期的な予測が背景にあるためと考えられる。周辺の土地利用分類別では、図2と同じ傾向が現われている。次に \dot{P} の平均値を表5に示す。高密度の土地利用をしたものほど \dot{P} は低いが、時間距離に対する \dot{P} の変化ほどの差は現れていない。このことより \dot{P} は現状の土地利用より都市圏内の空間的位置関係に強く影響されたようと思われる。次に、(I) 式において、 $U_t = (\rho_t) P_t - P_{t+1}$ として、 ρ の値を 40, 50, 60, 70% と与えて \dot{P} と x の関係を求めた。 $\rho=50, 70$ の場合が図3である。 $x=30, 50, 85$ で傾きが大きく変化している。これらの地点の近くでは、今回の分析において土地利用比率に大きな変化が生じており、静学分析において地代で示された都市構造と似たものが得られた。これより、都市圏内の地価の変動の空間的性質について (I) 式は妥当であると思われる。

4. おわりに

今回の分析より、限界地付近では (I) の理論式は不適当であるが、限界地内の地域では妥当なものであることが判明した。今後は商業地・工業地のデータを取り入れて考察する必要がある。

(参考文献) (1) 小宮隆夫「土地の価格」(地域経済と交通) 東大出版会)

(2) 新澤喜男・草山謙「地価と土地政策」(岩波書店)

表4 回帰式のパラメータ
平均時間距離 (s.47)

	A_0	$B \times 10^5$	x_0	\bar{x}
全データ	20.65	25.57	15	60
1	15.95	21.97	20	59
2	33.52	35.07	15	26
3	17.43	20.25	20	38
4	17.94	21.66	20	44
5	12.05	19.48	25	54
6	13.14	19.99	25	54
7	18.89	22.31	20	56
8	33.87	32.78	20	49
9	10.90	16.84	30	60
10	8.31	14.76	40	66
11	8.77	20.95	35	71
12	3.91	24.34	55	82

図1 上昇額と時間距離

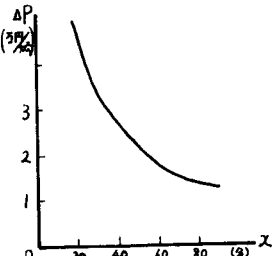


表5 地域別の平均上昇率
 \dot{P} (%)

地域	\dot{P} (%)
1	31.9
2	32.0
3	29.7
4	32.2
5	34.7
6	32.5
7	33.8
8	36.9
9	36.3
10	37.7
11	38.6
12	41.3

図2 上昇率と時間距離
 $x=85$

図3 U_t と時間距離

